

[1, 2]) функция $\varphi(k) \sim k^{-2}$, и это объясняется существенным вкладом конвективных процессов в распределение энергии турбулентных пульсаций по спектру.

Разумеется, можно утверждать, что зависимость (11) фактически мало отличается от закона « $-5/3$ ». Однако это не уменьшает теоретического интереса отмеченного отличия.

ЛИТЕРАТУРА

[1] Grant H. L., Steward R. W., Moilliett A. // J. Fluid Mech. 1962. 12. P. 241. [2] Grant H. L., Moilliett A. // J. Fluid Mech. 1962. 13. P. 237. [3] Филиппс О. М. Динамика верхнего слоя океана. Л., 1980. С. 263. [4] Татарский В. И. Распространение волн в турбулентной атмосфере. М., 1967. С. 112.

Поступила в редакцию
06.12.90

ВЕСТН. МОСК. УН-ТА. СЕР. 3, ФИЗИКА. АСТРОНОМИЯ. 1991. Т. 32, № 4

УДК 519.21

НЕЛИНЕЙНАЯ РЕДУКЦИЯ ИЗМЕРЕНИЙ В ЗАДАЧАХ ДИСТАНЦИОННОГО ЗОНДИРОВАНИЯ АТМОСФЕРЫ

Т. В. Матвеева, Ю. П. Пытьев

(кафедра физики атмосферы и математической геофизики)

На примере характерных задач дистанционного зондирования атмосферы показано, что большинство задач интерпретации измерений сводится к проблеме вычисления значений функции по неточно заданному аргументу. Результаты вычислительного эксперимента позволяют сделать вывод о целесообразности применения методов нелинейной редукции для решения прикладных задач.

Схема измерений большинства физических экспериментов по дистанционному зондированию атмосферы может быть представлена в виде

$$\xi = a(f) + v, \quad f \in \mathcal{F}, \quad (1)$$

где ξ — результат измерения, $a(\cdot)$ — известная функция, f — вектор параметров объекта, \mathcal{F} — множество, априори содержащее вектор f , v — случайный вектор (шум), моделирующий ошибки измерения. Исследователя, как правило, интересует значение f или, в более общем случае, $U(f)$ — параметров исследуемого объекта.

Рассмотрим простейшие эксперименты в атмосферной оптике. Пусть наземный приемник ориентирован в направлении падения прямого солнечного излучения и регистрирует интенсивность радиации в узком спектральном диапазоне в окрестности длины волны λ :

$$\xi = J(\lambda) + v, \quad (2)$$

где $J(\lambda)$ — интенсивность прямого солнечного излучения, ослабленного на пути от верхней границы атмосферы до точки наблюдения. Согласно закону Бугера, $J(\lambda) = S_\lambda \exp\{-T(0, \vartheta_s(0))\}$. Величина S_λ определяется спектром интенсивности внеатмосферной солнечной радиации, $T(z, \vartheta_s(z))$ — оптическая толщина вдоль пути от верхней границы атмосферы до точки z , $\vartheta_s(z)$ — видимый угол Солнца. В задаче определения оптической толщи, согласно схеме (1), $f = T(0, \vartheta_s(0))$, $a(f) = S_\lambda \exp\{-f\}$.

Оптическая толщина может быть представлена в виде $T = T_m(\vartheta_s) + T_a(\vartheta_s) + T_{O_3}(\vartheta_s)$, где $T_m(\vartheta_s)$ определяется полным рэлеевским (молекулярным) рассеянием, $T_a(\vartheta_s)$ — аэрозольная оптическая толщина, $T_{O_3}(\vartheta_s)$ — толщина, определяемая поглощением озона, $T_{O_3}(\vartheta_s) = \alpha_\lambda m(\vartheta_s)$, где α_λ — сечение поглощения озона, x — общее содержание озона, $m(\vartheta_s)$ — оптическая масса атмосферы. Если исследователя интересует общее содержание озона, то в соответствии со схемой (1) $f = x$, $a(f) = S_\lambda \exp\{-T_a(\vartheta_s) - T_m(\vartheta_s) - \alpha_\lambda m(\vartheta_s)\}$.

В качестве еще одного характерного примера задач дистанционного зондирования атмосферы рассмотрим задачу трассового лидарного зондирования. В экспери-

менте на расстоянии R от лидара ставится отражающий экран и регистрируется интенсивность излучения, отраженного от него и ослабленного на пути $2R$. В приближении однократного рассеяния лидарное уравнение имеет вид

$$P = (P_0 A / R^2) \beta \eta \exp \left\{ -2 \int_0^R \alpha(r) dr \right\},$$

где P_0 — мощность излучения лазера, η — коэффициент отражения, β — объемный коэффициент обратного рассеяния, A — аппаратная функция, α — объемный коэффициент полного ослабления. Ослабление на трассе можно представить так: $\exp\{-2\alpha R\} = \exp\{-2\sigma NR\} \exp\{-2\alpha_a R\}$, где $\exp\{-2\alpha_a R\}$ определяет ослабление за счет рассеяния, N — интересующая нас концентрация примеси, σ — сечение поглощения. Запишем схему лидарных измерений:

$$\xi = A_0 \exp\{-\tilde{\alpha} N\} + v, \quad (3)$$

$A_0 = (P_0 \beta \eta A / R^2) \exp\{-2\alpha_a R\}$, $\tilde{\alpha} = 2\sigma R$. Согласно обозначениям схемы (1), $f = N$, $a(f) = A_0 \exp\{-\tilde{\alpha} f\}$.

На практике в задачах лидарного зондирования атмосферы ситуация, как правило, более сложная, поскольку параметры реальной атмосферы во время проведения измерений неизвестны. Поэтому в рассмотренном методе дифференциального поглощения используется двухчастотный лидар, причем частоты зондирующего и опорного излучений выбираются соответственно на и вне линии поглощения интересующей примеси. В рамках данной задачи схему измерений можно представить в виде

$$\xi = a(f) + v, \quad (4)$$

где

$$\xi = \begin{pmatrix} \xi_1 \\ \xi_2 \end{pmatrix}, \quad a(f) = \begin{pmatrix} a_1 \\ a_2 \end{pmatrix} = \begin{pmatrix} f_1 \\ f_1 \exp\{-\tilde{\alpha} f_2\} \end{pmatrix}, \quad v = \begin{pmatrix} v_1 \\ v_2 \end{pmatrix},$$

и нас по-прежнему интересует концентрация поглощающей примеси — $U(f) = f_2$. Для определения f или $U(f)$ часто применяется метод наименьших квадратов (МНК), позволяющий определять f из условия

$$\|\xi - a(f)\|^2 \sim \min_{f \in \mathcal{F}} \quad (5)$$

Далее речь пойдет о задаче редукции измерения ξ , в которой требуется определить оператор $R(\cdot)$ так, чтобы $R(\xi)$ можно было использовать как наиболее точную в среднем квадратичном версию значения $U(f)$.

Во многих физических экспериментах нелинейные задачи интерпретации измерений сводятся к вычислению значения функции $a^{-1}(\cdot)$, аргумент которой $a(f)$, согласно равенству (1), известен с ошибкой v . Итак, рассмотрим задачу определения значения $U(f)$ заданной функции $U(\cdot)$, когда значение аргумента f известно приближенно в виде

$$\xi = f + v.$$

Пусть f — случайный вектор R_n , задано ограниченное множество $\mathcal{F} \subset R_n$, априори содержащее f , $q(\cdot)$ — плотность распределения f на \mathcal{F} , задан класс распределений v , сосредоточенных на ограниченном множестве $\Delta \in R_n$. Следуя работе [1], рассмотрим задачу интерпретации измерений (5) как задачу на условный минимум:

$$\inf \{h_1^2(R, U) | h_2^2(R) \leq \epsilon\}, \quad (6)$$

разрешимую на соболевском классе W_2^1 функций $R(\cdot)$. Здесь

$$h_1^2(R, U) = \int_{\mathcal{F}} \|R(f) - U(f)\|^2 q(f) df$$

контролирует систематическую погрешность, а

$$h_2^2(R) = \int_{\mathcal{D}} \sum_{i,j=1}^n K_{ij}(x) \partial R / \partial x_i \partial R / \partial x_j dx, \quad \mathcal{D} = \{f + x, f \in \mathcal{F}, x \in \Delta\}$$

оценивает уровень шума редукции.

Рассмотренные задачи (2), (3), (4) можно представить в терминах задачи (5). Так, для задачи восстановления общего содержания озона в схеме (2) будем обозначать $f = S_\lambda \exp \{-T(0, \Phi_s(0))\}$, тогда

$$U(f) = -\{(\ln(f/S_\lambda) + T_m(\Phi_s) + T_a(\Phi_s))/\alpha_\lambda m(\Phi_s)\}, \mathcal{F} = \{f: a_1 \leq f \leq a_2\},$$

где $[a_1, a_2]$ — интервал, где априори содержится f . В задаче восстановления концентрации поглощающей примеси (схема (4)) положим

$$f = \begin{pmatrix} f_1 \\ f_2 \end{pmatrix} = \begin{pmatrix} a_1 \\ a_1 \exp\{-\tilde{\alpha}N\} \end{pmatrix}, U(f) = (-1/\tilde{\alpha}) \ln(f_2/f_1).$$

Априори задано

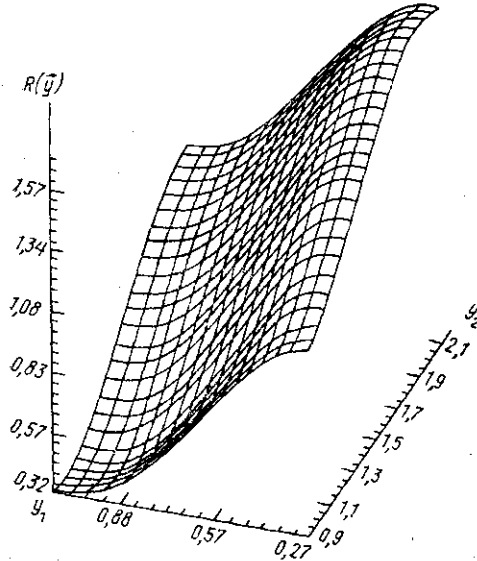
$$\mathcal{F} = \left\{ f, \begin{matrix} a_1 \leq f_1 \leq \bar{a}_1 \\ a_2 \leq f_2 \leq \bar{a}_2 \end{matrix} \right\}, \Delta = \left\{ v, \begin{matrix} |v_1| \leq \Delta_1 \\ |v_2| \leq \Delta_2 \end{matrix} \right\}. \quad (7)$$

В вычислительном эксперименте предполагалось, что шум v распределен равномерно либо сосредоточен в точках $\pm\Delta$. Вычислялось значение фактической погрешности

$$h(R, \xi) = \int_{\mathcal{F}} \|R(\xi) - U(f)\|^2 q(f) df.$$

Причем, поскольку решение задачи (6) параметрически зависит от ϵ , значение ϵ в вычислительном эксперименте выбиралось из условия минимальности фактической погрешности.

Результаты вычислительного эксперимента свидетельствуют в пользу нелинейной редукции. Так, фактическая погрешность, полученная на основе МНК, оказалась в 1,7 раза больше погрешности, полученной на основе нелинейной редукции. Для задачи (4) проведено сравнение результата нелинейной редукции с традиционно используемым в качестве оценки N значением оператора $U(\xi) = -(1/\tilde{\alpha}) \ln(\xi_2/\xi_1)$. Вид нелинейного оператора $R(y)$, полученного как решение задачи (6), представлен на рисунке. Значения фактической погрешности для $U(\xi)$ и $R(\xi)$ при различных значениях Δ приведены в таблице. Как видно из таблицы, фактическая погрешность метода нелинейной редукции вновь выгодно отличается от погрешности



Вид нелинейного оператора $R(y)$, полученного как решение задачи (6) для области $\mathcal{D} = \{f+x, f \in \mathcal{F}, x \in \Delta\}$, где \mathcal{F}, Δ определены согласно (7)

сти традиционного метода. Приведенные примеры позволяют сделать вывод о целесообразности применения нелинейной редукции в задачах интерпретации физических измерений.

Значения фактической погрешности для оператора нелинейной редукции $R(\xi)$ и оператора $U(\xi)$ при различных значениях Δ ($\Delta_1 < \Delta_2 < \Delta_3 < \Delta_4$)

| | Δ_1 | Δ_2 | Δ_3 | Δ_4 |
|----------|------------|------------|------------|------------|
| $U(\xi)$ | 0,0077 | 0,031 | 0,066 | 0,11 |
| $R(\xi)$ | 0,0062 | 0,021 | 0,051 | 0,08 |

ЛИТЕРАТУРА

[1] Пытьев Ю. П. // Матем. моделирование. 1989. 1, № 5. С. 44.

Поступила в редакцию
22.01.91